

# Oscilador armónico cuántico unidimensional en baño térmico usando el algoritmo Metrópolis.

Juan Esteban Aristizabal Zuluaga  
*Instituto de Física, Universidad de Antioquia.*  
(Dated: 16 de abril de 2020)

En este artículo presentamos un estudio del oscilador armónico cuántico unidimensional en un baño térmico. En particular, nos interesamos por calcular la probabilidad de encontrar el sistema en una posición dada. Para esto, presentamos los cálculos teóricos cuánticos y su contraparte clásica, con el fin de comparar los resultados. Especialmente nos enfocamos en usar el algoritmo Metrópolis para reconstruir histogramas que representan las distribuciones de probabilidad cuánticas, tanto en el espacio de posiciones como en los niveles de energía. Estos resultados cuánticos los usamos para contrastarlos con los clásicos y los tres casos presentados –baja, media y alta temperatura– concuerdan claramente con los cálculos teóricos. Se presenta también la implementación del algoritmo Metrópolis en el lenguaje de programación «Python».

**Palabras clave:** Oscilador armónico, física estadística cuántica, baño térmico, ensamble canónico, algoritmo Montecarlo.

## I. INTRODUCCIÓN

El oscilador armónico ha sido históricamente para la física un sistema simple pero del que se puede extraer gran cantidad de información y con el que se han descubierto muchos nuevos métodos y hasta teorías completas, basadas en los razonamientos y el conocimiento obtenido de éste. Por citar un ejemplo, está la cuantización del campo electromagnético que se puede reducir a un sistema «osciladores armónicos» no acoplados y en general las teorías de segunda cuantización en la base número usan gran parte del formalismo del oscilador armónico cuántico, aunque con un significado muy diferente al que se le da en el sistema que nos compete[1, 2].

En nuestro caso hemos tomado el oscilador armónico unidimensional inmerso en un baño térmico y hemos estudiado su comportamiento a diferentes temperaturas y contrastado los resultados cuántico y clásico para la probabilidad de encontrarlo en una posición dada. Para ello hemos revisado los resultados teóricos. Entre diferentes alternativas presentadas en la literatura para llegar al resultado cuántico, entre ellas el formalismo de integrales de camino [3, 4], propagadores [5] y métodos más heurísticos como el de Feynman [6], hemos decidido presentar el formalismo desarrollado por Cohen-Tannoudji [7], el cual deriva una ecuación diferencial parcial para encontrar los elementos de matriz diagonales del operador densidad, los cuales corresponden con la probabilidad en la que estamos interesados. El método que presentamos tiene la ventaja de que requiere de cálculos básicos y no de métodos avanzados, que pueden ser un poco más confusos.

Por otro lado, como sabemos, en la física estadística las herramientas computacionales han permitido un mejor entendimiento de diversos problemas. En particular, el algoritmo Metrópolis ha sido ampliamente usado desde que Metropolis *et al.* publicaron el artículo que lo propone [8], en el año 1953, que posteriormente ganó más popularidad con la generalización hecha en 1970 por Hastings [9]. El algoritmo es útil especialmente en problemas

de alta dimensionalidad para muestrear distribuciones de probabilidad en el que otros métodos no son igual de eficientes o simplemente no funcionan –uno de los ejemplos más comunes es la implementación de este algoritmo en sistemas tipo Ising [10]–, aunque en teoría se puede usar para sistemas con cualquier dimensionalidad.

En nuestro caso, a pesar de tener un sistema de baja dimensionalidad, usamos el algoritmo metrópolis para obtener los histogramas de las densidades de probabilidad para el caso cuántico tanto para  $T = 0$  como varios valores de  $T \neq 0$ . Por otro lado, usando el mismo algoritmo, encontramos histogramas para los niveles de energía en cada caso y comprobamos que corresponden con la distribución de Boltzmann *i.e.* la distribución de probabilidad dada por el ensamble canónico de la física estadística.

La estructura del artículo es la siguiente: en la sección II presentamos los resultados teóricos para la densidad de probabilidad cuántica y clásica de encontrar el oscilador armónico unidimensional en una posición dada cuando éste está inmerso en un baño térmico. En la parte III contrastamos los resultados teóricos clásico y cuántico con simulaciones usando el algoritmo Montecarlo para la parte cuántica, para diferentes valores de temperatura. En esta sección también comprobamos los resultados y los límites de alta y baja temperatura que obtuvimos en II. En IV presentamos la conclusión del trabajo y, finalmente, en los apéndices A y B escribimos las implementaciones de los algoritmos de metrópolis usados (en Python3) para generar las figuras y para los análisis de la sección III.

## II. CONSIDERACIONES TEÓRICAS

Consideraremos los sistemas en unidades reducidas, es decir, con sus variables adimensionalizadas.

### A. Caso Clásico

Queremos encontrar la densidad de probabilidad de que una partícula en un potencial armónico unidimensional y en un baño térmico a temperatura  $T = 1/\beta$  se encuentre en la posición  $x$ . Esta densidad de probabilidad se encuentra al integrar todas las contribuciones de los diferentes momentos de la partícula:

$$\pi^{(C)}(x; \beta) = \int_{-\infty}^{\infty} dp \rho(p, x; \beta), \quad (1)$$

donde  $\rho(p, x; \beta)$  es la densidad de probabilidad clásica –en el espacio de fase– del ensamble canónico que está dada por

$$\rho(p, x; \beta) = \exp[-\beta H(p, x)] / Z(\beta), \quad (2)$$

donde

$$Z(\beta) = \int_{-\infty}^{\infty} \int_{-\infty}^{\infty} dp dx \exp[-\beta H(p, x)] \quad (3)$$

es la función de partición canónica. En nuestro caso, para el oscilador armónico tenemos que el hamiltoniano está dado por

$$H(p, x) = \frac{1}{2}p^2 + \frac{1}{2}x^2. \quad (4)$$

La función de partición canónica está dada por

$$Z(\beta) = \int_{-\infty}^{\infty} \int_{-\infty}^{\infty} dp dx \exp\left[-\beta \left(\frac{p^2}{2} + \frac{x^2}{2}\right)\right] \quad (5)$$

$$\begin{aligned} &= \frac{2}{\beta} \int_{-\infty}^{\infty} dy e^{-y^2} \int_{-\infty}^{\infty} dz e^{-z^2} \\ &= \frac{2\pi}{\beta}, \end{aligned} \quad (6)$$

donde usamos los cambios de variable  $\frac{\beta}{2}p^2 \rightarrow y^2$ ,  $\frac{\beta}{2}x^2 \rightarrow z^2$  y el resultado de la integral gaussiana  $\int_{-\infty}^{\infty} dz e^{-z^2} = \sqrt{\pi}$ . De este resultado y de la ec. (2) obtenemos para el oscilador armónico

$$\rho(p, x; \beta) = \frac{\beta}{2\pi} \exp\left[-\beta \left(\frac{p^2}{2} + \frac{x^2}{2}\right)\right]. \quad (7)$$

Usando la ec. anterior en (1) obtenemos la probabilidad que buscábamos

$$\begin{aligned} \pi^{(C)}(x; \beta) &= \frac{\beta}{2\pi} \int_{-\infty}^{\infty} dp \exp\left[-\beta \left(\frac{p^2}{2} + \frac{x^2}{2}\right)\right] \\ &= \frac{\beta}{2\pi} e^{-\beta x^2/2} \int_{-\infty}^{\infty} dp e^{-\beta p^2/2} \end{aligned}$$

$$\iff \pi^{(C)}(x; \beta) = \sqrt{\frac{\beta}{2\pi}} e^{-\beta x^2/2} \quad (8)$$

Si comparamos nuestro resultado (8) con la famosa PDF gaussiana, encontramos que su varianza está dada por

$$\sigma^2 = \frac{1}{\beta} = T. \quad (9)$$

Notando esto es fácil analizar qué pasará en el caso clásico en los límites de altas y bajas temperaturas. En el primer caso, tenemos que la varianza de nuestra densidad de probabilidad sería inmensa. La probabilidad de encontrar a la partícula tiende a una distribución uniforme y si estamos trabajando en un espacio infinito  $x \in (-\infty, \infty)$ , en el límite  $T \rightarrow \infty$  la probabilidad de encontrar a la partícula en un punto determinado sería efectivamente cero.

Por otro lado, en el límite de bajas temperaturas, la varianza de la probabilidad es tan baja como la temperatura misma. Es decir, a medida que bajamos la temperatura, el ancho de nuestra distribución gaussiana disminuye también. Esto implica que la probabilidad de encontrar la «partícula» en el centro del potencial *i.e.* en  $x = 0$  aumenta conforme  $T$  disminuye, hasta que en el límite  $T \rightarrow 0$  la probabilidad de encontrarla en dicho punto es uno. Es decir, la partícula permanece inmóvil en dicho sitio. En términos matemáticos, decimos que la distribución de probabilidad en este límite es una delta de Dirac centrada en el mínimo del potencial.

### B. Caso cuántico

En el caso cuántico, para calcular la densidad de probabilidad de encontrar a la partícula en la posición  $x$  seguiremos a Cohen-Tannoudji [7]. Primero, recordemos que en este caso el operador densidad en el ensamble canónico está dado por

$$\hat{\rho} = \exp[-\beta \hat{H}]. \quad (10)$$

De este modo es claro que la normalización de  $\hat{\rho}$  está dada por la función de partición canónica

$$Z(\beta) = \text{Tr}[\hat{\rho}] = \sum_n e^{-\beta E_n} \quad (11)$$

Donde  $\{E_n\}_n$  son los niveles de energía del sistema y  $n$  es un índice colectivo de números cuánticos que caracterizan el espectro de  $\hat{H}$ . En caso de que dicho espectro sea continuo, la suma en la expresión anterior se debería cambiar por una integral sobre las energías o los índices continuos que caracterizan las energías.

La densidad de probabilidad que se busca es

$$\pi^{(Q)}(x; \beta) = \rho(x, x; \beta) / Z(\beta) = \langle x | \hat{\rho} | x \rangle / Z(\beta). \quad (12)$$

En nuestro caso el hamiltoniano está dado por

$$\hat{H} = \frac{1}{2}\hat{p}^2 + \frac{1}{2}\hat{x}^2. \quad (13)$$

Los autoestados de energía están dados por  $\{|n\rangle\}_n$ , donde  $n \in \{0, 1, 2, 3, \dots\}$  y sus autovalores están dados por

$$\hat{H}|n\rangle = \left(n + \frac{1}{2}\right)|n\rangle. \quad (14)$$

es decir,  $E_n = n + 1/2$ .

Con el valor de  $E_n$  y la ecuación (11) podemos calcular ahora el valor de la función de partición

$$\begin{aligned} Z(\beta) &= e^{-\beta/2} \sum_n e^{-\beta n} \\ &= e^{-\beta/2} \sum_n (e^{-\beta})^n \\ &= \frac{e^{-\beta/2}}{1 - e^{-\beta}} \\ &= \frac{1}{2 \sinh(\beta/2)}. \end{aligned} \quad (15)$$

Donde en la tercera igualdad hemos usado que  $0 < e^{-\beta} < 1$  y el resultado de la serie geométrica  $\sum_{n=0}^{\infty} a^n = 1/(1 - a)$  si  $|a| < 1$

Por otro lado, como sabemos, el hamiltoniano del oscilador armónico puede ser escrito en términos de los operadores escalera  $a$  y  $a^\dagger$ , que están definidos como

$$a = \frac{1}{\sqrt{2}}(\hat{x} + i\hat{p}) \quad (16)$$

$$a^\dagger = \frac{1}{\sqrt{2}}(\hat{x} - i\hat{p}), \quad (17)$$

y que tienen las siguientes propiedades

$$[a, a^\dagger] = 1 \quad (18)$$

$$a|n\rangle = \sqrt{n}|n-1\rangle \quad (19)$$

$$a^\dagger|n\rangle = \sqrt{n+1}|n+1\rangle \quad (20)$$

$$a^\dagger a|n\rangle = n|n\rangle. \quad (21)$$

Se encuentra que

$$H = a^\dagger a + \frac{1}{2}. \quad (22)$$

Con este formalismo en mente, nuestro objetivo ahora es encontrar el elemento de matriz  $\langle x|\hat{\rho}|x\rangle$  para así poder calcular la probabilidad  $\pi(x; \beta)$  definida en (12). Tenemos

$$\begin{aligned} \langle x|\hat{\rho}|x\rangle &= \langle x|e^{-\beta(a^\dagger a + 1/2)}|x\rangle \\ &= e^{-\beta/2} F_\beta(x), \end{aligned} \quad (23)$$

donde hemos definido

$$F_\beta(x) = \langle x|e^{-\beta a^\dagger a}|x\rangle. \quad (24)$$

Para evaluar el elemento de matriz  $F_\beta(x)$  encontraremos una ecuación diferencial que lo caracterice, usando el formalismo de las transformaciones unitarias infinitesimales. Recordemos que como  $\hat{p}$  es el generador de las traslaciones

$$|x + dx\rangle = (1 - i\hat{p}dx)|x\rangle, \quad (25)$$

por tanto, tenemos que

$$\begin{aligned} F_\beta(x + dx) &= \langle x + dx|e^{-\beta a^\dagger a}|x + dx\rangle \\ &= \langle x|(1 + i\hat{p}dx)e^{-\beta a^\dagger a}(1 - i\hat{p}dx)|x\rangle \\ &= F_\beta(x) + idx \langle x|\hat{p}e^{-\beta a^\dagger a} - e^{-\beta a^\dagger a}\hat{p}|x\rangle \\ &= F_\beta(x) + idx \langle x|[\hat{p}, e^{-\beta a^\dagger a}]|x\rangle \end{aligned} \quad (26)$$

Donde en la tercera igualdad se ignoran términos de orden  $(dx)^2$ , ya que estamos considerando desplazamientos infinitesimales. Por tanto, de lo anterior obtenemos la expresión

$$\frac{F_\beta(x + dx) - F_\beta(x)}{dx} = i \langle x|[\hat{p}, e^{-\beta a^\dagger a}]|x\rangle, \quad (27)$$

y tomando  $\lim_{dx \rightarrow 0}$  obtenemos la ecuación diferencial deseada

$$\frac{d}{dx} F_\beta(x) = i \langle x|[\hat{p}, e^{-\beta a^\dagger a}]|x\rangle. \quad (28)$$

Ahora nuestro problema se concentra en calcular el elemento de matriz  $\langle x|[\hat{p}, e^{-\beta a^\dagger a}]|x\rangle$ . Para esto calcularemos primero una expresión equivalente a la del conmutador, que facilitará el cálculo. Notamos de las ecuaciones (16) y (17) que  $\hat{p} = \frac{1}{i\sqrt{2}}(a - a^\dagger)$ . Por tanto, tenemos que

$$[\hat{p}, e^{-\beta a^\dagger a}] = \frac{1}{i\sqrt{2}}[a - a^\dagger, e^{-\beta a^\dagger a}]. \quad (29)$$

El conmutador en la expresión anterior involucra a  $a - a^\dagger$ , pero quisiéramos obtener una relación que involucre a  $a + a^\dagger$  que, según las expresiones (16) y (17), es proporcional a  $\hat{x}$  y actúa de manera simple en los kets  $|x\rangle$  de la expresión (28). Para lograr esto examinaremos la relación entre los términos  $ae^{-\beta a^\dagger a}$  y  $e^{-\beta a^\dagger a}a$ . Dicha relación es evidente si consideramos sus elementos de matriz en la representación  $\{|n\rangle\}_n$ . Tenemos

$$\begin{aligned} \langle m|ae^{-\beta a^\dagger a}|n\rangle &= \sqrt{n}e^{-\beta n} \langle m|n-1\rangle \\ &= \sqrt{n}e^{-\beta n} \delta_{m, n-1}, \end{aligned} \quad (30)$$

y

$$\begin{aligned} \langle m|e^{-\beta a^\dagger a}a|n\rangle &= \sqrt{n}e^{-\beta(n-1)} \langle m|n-1\rangle \\ &= \sqrt{n}e^{-\beta(n-1)} \delta_{m, n-1}. \end{aligned} \quad (31)$$

De (30) y (31) deducimos

$$e^{-\beta a^\dagger a}a = e^\beta a e^{-\beta a^\dagger a}. \quad (32)$$

Es fácil ver que la expresión anterior es equivalente a

$$\left(1 - \tanh \frac{\beta}{2}\right) e^{-\beta a^\dagger a} a = \left(1 + \tanh \frac{\beta}{2}\right) a e^{-\beta a^\dagger a}. \quad (33)$$

Similarmente, tenemos

$$\begin{aligned} \langle m|a^\dagger e^{-\beta a^\dagger a}|n\rangle &= \sqrt{n+1}e^{-\beta n} \langle m|n+1\rangle \\ &= \sqrt{n+1}e^{-\beta n} \delta_{m, n+1} \end{aligned} \quad (34)$$

y

$$\begin{aligned}\langle m|e^{-\beta a^\dagger a}a^\dagger|n\rangle &= \sqrt{n+1}e^{-\beta(n+1)}\langle m|n+1\rangle \\ &= \sqrt{n+1}e^{-\beta(n+1)}\delta_{m,n+1}\end{aligned}\quad (35)$$

y por tanto, tenemos que

$$e^{-\beta a^\dagger a}a^\dagger = e^{-\beta}a^\dagger e^{-\beta a^\dagger a}, \quad (36)$$

y esta expresi3n es equivalente a

$$\left(1 + \tanh\frac{\beta}{2}\right)e^{-\beta a^\dagger a}a^\dagger = \left(1 - \tanh\frac{\beta}{2}\right)a^\dagger e^{-\beta a^\dagger a}. \quad (37)$$

Restando las expresiones (33) y (37) obtenemos

$$\begin{aligned}e^{-\beta a^\dagger a}(a - a^\dagger) - \tanh\frac{\beta}{2}e^{-\beta a^\dagger a}(a + a^\dagger) = \\ (a - a^\dagger)e^{-\beta a^\dagger a} + \tanh\frac{\beta}{2}(a + a^\dagger)e^{-\beta a^\dagger a}.\end{aligned}\quad (38)$$

Reorganizando los t3rminos, encontramos que

$$\left[a - a^\dagger, e^{-\beta a^\dagger a}\right] = -\tanh\frac{\beta}{2}\left[a + a^\dagger, e^{-\beta a^\dagger a}\right]_+ \quad (39)$$

donde  $[A, B]_+ = AB + BA$ . Adem3s, de las relaciones (16) y (17) sabemos que  $\hat{x} = (a + a^\dagger)/\sqrt{2}$  y por tanto, la expresi3n anterior se puede escribir como

$$\left[a - a^\dagger, e^{-\beta a^\dagger a}\right] = -\sqrt{2}\tanh\frac{\beta}{2}\left[\hat{x}, e^{-\beta a^\dagger a}\right]_+ \quad (40)$$

Remplazando la expresi3n anterior en (29) obtenemos

$$\left[\hat{p}, e^{-\beta a^\dagger a}\right] = i\tanh\frac{\beta}{2}\left[\hat{x}, e^{-\beta a^\dagger a}\right]_+. \quad (41)$$

Remplazando 3sta 3ltima expresi3n en la ecuaci3n diferencial para  $F_\beta(x)$ , (28), encontramos que

$$\begin{aligned}\frac{d}{dx}F_\beta(x) &= -\tanh\frac{\beta}{2}\langle x|\left[\hat{x}, e^{-\beta a^\dagger a}\right]_+|x\rangle \\ &= -\tanh\frac{\beta}{2}\langle x|\left(\hat{x}e^{-\beta a^\dagger a} + e^{-\beta a^\dagger a}\hat{x}\right)|x\rangle \\ &= -\tanh\left(\frac{\beta}{2}\right)2x\langle x|e^{-\beta a^\dagger a}|x\rangle \\ \Leftrightarrow \frac{d}{dx}F_\beta(x) + \tanh\left(\frac{\beta}{2}\right)2xF_\beta(x) &= 0\end{aligned}\quad (42)$$

es f3cil ver que la ecuaci3n diferencial obtenida es de la forma  $g'(x) + \frac{2x}{\zeta^2}g(x) = 0$  y que la soluci3n de esta ecuaci3n es una gaussiana  $g(x) = c_0e^{-x^2/\zeta^2}$  donde  $c_0$  est3 definida por una condici3n inicial. En nuestro caso  $1/\zeta^2 = \tanh(\beta/2)$ . Por tanto tenemos que

$$F_\beta(x) = c_0 \exp[-\tanh(\beta/2)x^2]. \quad (43)$$

Remplazando el resultado anterior en (23) encontramos que  $\langle x|\hat{p}|x\rangle = c_0e^{-\beta/2}\exp[-\tanh(\beta/2)x^2]$  y remplazando este resultado en (12) encontramos que la probabilidad (densidad) que busc3bamos est3 dada por

$$\pi^{(Q)}(x; \beta) = c_0e^{-\beta/2}\exp[-\tanh(\beta/2)x^2]/Z(\beta) \quad (44)$$

Finalmente, sabemos que al ser  $\pi(x; \beta)$  una densidad de probabilidad, su integral debe ser igual a uno. Usando este hecho y el resultado de la integral gaussiana dado en la secci3n II A, encontramos que  $c_0e^{-\beta/2}/Z(\beta) = \sqrt{\tanh(\beta/2)/\pi}$ , es decir, en el ensamble can3nico la probabilidad (densidad) de encontrar a la part3cula en la posici3n  $x$  est3 dada por

$$\pi^{(Q)}(x; \beta) = \sqrt{\frac{\tanh(\beta/2)}{\pi}}\exp[-\tanh(\beta/2)x^2]. \quad (45)$$

Analizar los l3mites de la expresi3n (45) tambi3n es sencillo. En el caso de bajas temperatura tenemos que  $\beta \gg 1$  y por tanto  $\tanh(\beta/2) \rightarrow 1$  y la densidad de probabilidad l3mite es  $\pi^{(Q)}(x, \beta \gg 1) \approx e^{-x^2}/\sqrt{\pi}$ . Este resultado corresponde con la densidad de probabilidad del estado base del oscilador arm3nico,  $|\psi_0(x)|^2$  donde

$$\psi_0(x) = \frac{1}{\pi^{1/4}}e^{-x^2/2}, \quad (46)$$

conforme esper3bamos: en el l3mite de bajas temperaturas los sistemas cu3nticos tienden a ocupar su estado base.

Por otro lado, en el l3mite de altas temperaturas esperamos obtener el caso cl3sico. De hecho, para este l3mite tenemos  $\beta \ll 1$  lo cual implica  $\tanh(\beta/2) \rightarrow \beta/2$  y obtenemos la densidad de probabilidad cl3sica,  $\pi^{(Q)}(x; \beta \ll 1) \approx \sqrt{\beta/2\pi}e^{-\beta x^2/2}$ , que corresponde con el resultado (8).

Es interesante ver que en este ejemplo se manifiesta de manera sencilla el hecho de que en el caso de sistemas en equilibrio con reservorios de calor, los efectos de la mec3nica cu3ntica son m3s evidentes en el l3mite de bajas temperaturas, en el cual los resultados cu3ntico y cl3sico son completamente diferentes.

Como dijimos al comienzo de esta secci3n, las cantidades que tratamos ac3 son adimensionales. Sin embargo, si queremos pasar a un sistema f3sico particular que se pueda reducir a un oscilador arm3nico en un ba3o t3rmico, en el caso cu3ntico podemos hacer el cambio  $\beta \rightarrow \hbar\omega/k_B T$  para tener una idea de las dimensiones y casos de alta temperatura ( $T \gg \hbar\omega/k_B$ ) o de baja temperatura ( $T \ll \hbar\omega/k_B$ ) con valores particulares seg3n sea el sistema considerado. En el caso cl3sico este paso se puede hacer haciendo el cambio  $\beta \rightarrow m\omega^2 l_0^2/k_B T$ , donde  $l_0$  es una longitud caracter3stica del sistema y  $m$  es la masa de la «part3cula».

### III. RESULTADOS Y DISCUSI3N

A continuaci3n presentaremos los resultados del l3mite de baja temperatura para un oscilador arm3nico cu3ntico unidimensional y su contraparte cl3sica y de igual forma para temperaturas por encima de  $T \rightarrow 0$ , en el marco de simulaciones que usan cadenas de Markov en el algoritmo Metropolis. Como ya se mencion3 en la Secci3n I,

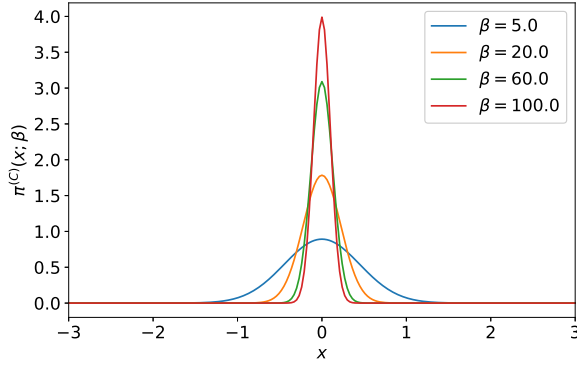


Figura 1. Probabilidad de encontrar a la partícula clásica en presencia de un potencial armónico en una posición  $x$ , cuando ésta se encuentra en un reservorio de Calor a temperatura  $T = 1/\beta$ . Se ilustra gráficamente el hecho de que  $\pi^{(C)}(x; \beta) \rightarrow \delta(x)$  cuando  $\beta \rightarrow \infty$ .

éste algoritmo permite realizar un muestreo de la densidad de probabilidad (45), hallada en la Sección II. Las implementaciones de los algoritmos en el lenguaje de programación Python3 se pueden ver en los apéndices A y B.

#### A. Límite de muy baja temperatura $T \rightarrow 0$

En el caso clásico y el límite de muy baja temperatura ( $T \rightarrow 0$ ), según discutimos en la sección II A, la densidad de probabilidad de encontrar a la «partícula» en la posición  $x$  tiende a una delta de Dirac:  $\pi^{(C)}(x; \beta \gg 1) \rightarrow \delta(x)$ . En la figura 1 encontramos  $\pi^{(C)}(x; \beta)$  para diferentes valores de  $\beta$ , cada vez más grandes y podemos ver que para valores altos de  $\beta$  (temperaturas bajas) la distribución comienza a tener el límite mencionado. Aunque es solo una aproximación gráfica, podemos ver que ilustra muy bien el límite.

El límite de muy baja temperatura para el caso cuántico, como se discutió en la sección II B, es que la densidad de probabilidad  $\pi^{(Q)}(x; \beta)$  tiende a la misma densidad de probabilidad del estado base del sistema, la cual determinada por la norma al cuadrado de  $\psi_0(x)$ , (46). En este caso usamos el algoritmo Metrópolis solo para muestrear posiciones de la distribución de probabilidad definida por  $|\psi_0(x)|$ , ya que en este límite los niveles excitados del sistema no son accesibles o su accesibilidad es despreciable.

En la figura 2 mostramos la densidad de probabilidad teórica para el estado base,  $|\psi_0(x)|^2$ , y el histograma que obtenemos mediante el algoritmo de Metrópolis, cuya implementación se puede revisar en el apéndice A. Para obtener esta gráfica usamos  $10^6$  iteraciones en el algoritmo y para la propuesta de la posición en cada nueva iteración se usó una distribución uniforme centrada en el valor de  $x$  de la iteración inmediatamente anterior:  $x_{new} \sim U(x_{old} - \delta x, x_{old} + \delta x)$ . En este caso se usó

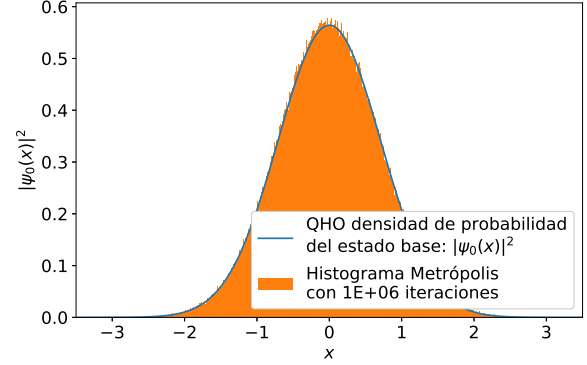


Figura 2. Densidad de probabilidad de encontrar a la «partícula» cuántica en una posición dada, cuando está en presencia de un potencial armónico y en ausencia de baño térmico *i.e.*  $T = 0$ . Se muestra el resultado teórico como línea continua y el histograma que resulta del algoritmo Metrópolis.

$\delta x = 0.5$ . La probabilidad de aceptación de la proposición es de

$$p(x_{old} \rightarrow x_{new}) = \min \left( 1, \left| \frac{\psi_0(x_{new})}{\psi_0(x_{old})} \right|^2 \right). \quad (47)$$

Podemos ver que el resultado de este ejercicio es satisfactorio. Encontramos que el histograma corresponde en gran medida con la densidad de probabilidad teórica, lo cual implica que el muestreo –a pesar de que es posible que no sea el más óptimo– si está bien realizado.

#### B. Temperatura finita $T \neq 0$

Para temperaturas  $T \neq 0$  el oscilador armónico ahora puede acceder a niveles de energía diferentes del nivel de energía base ( $n = 0$ ). Es por esto que la implementación del algoritmo Metrópolis en este caso debe tener en cuenta tanto cambios de posición como cambios en los niveles de energía. En la implementación, que se puede ver en el apéndice B, encontraremos que en cada iteración hay dos tipos de proposiciones: una para la posición  $x_{new}$  de manera similar que en el caso con temperatura  $T = 0$ , esto es,  $x_{new} \sim U(x_{old} - \delta x, x_{old} + \delta x)$ . La probabilidad de aceptación de esta proposición para la posición es de

$$p(x_{old} \rightarrow x_{new}) = \min \left( 1, \left| \frac{\psi_{n_{old}}(x_{new})}{\psi_{n_{old}}(x_{old})} \right|^2 \right). \quad (48)$$

Además, para tener en cuenta los cambios en niveles de energía dados por el contacto con el baño térmico se propone en cada nueva iteración un  $n_{new} = n_{old} + \Delta n$  donde los valores  $\Delta n = \pm 1$  se escogen aleatoriamente con probabilidad 1/2. La probabilidad de aceptación de este nuevo nivel de energía está determinada por el factor de



Boltzmann y las autofunciones de energía.

$$p(n_{old} \rightarrow n_{new}) = \min \left( 1, \left| \frac{\psi_{n_{new}}(x_{old})}{\psi_{n_{old}}(x_{old})} \right|^2 e^{-\beta(E_{n_{new}} - E_{n_{old}})} \right). \quad (49)$$

En las figuras 3, 4 y 5 mostramos los resultados obtenidos mediante el algoritmo Metrópolis que describimos en el párrafo anterior, para diferentes valores de  $\beta$ . En esas mismas figuras se muestra también los resultados teóricos clásico y cuántico (8) y (45), respectivamente, y un histograma de las contribuciones de los diferentes niveles de energía a la densidad de probabilidad graficada,  $\pi(x; \beta)$ , éste último corresponde con la distribución de probabilidad

$$\pi(n; \beta) = e^{-\beta E_n} / Z(\beta), \quad (50)$$

es decir, la asociada a los niveles de energía en el ensamble canónico.

El caso de mayor temperatura en las gráficas que mostramos está en la figura 3. Éste se puede considerar como un caso de alta temperatura, lo cual podemos comprobar notando que las distribuciones de probabilidad clásica (8) y cuántica (45) para este valor de  $\beta$  se solapan al punto en que son casi indistinguibles en la gráfica. Esto comprueba nuestro análisis del límite de alta temperatura para  $\pi^{(Q)}(x; \beta)$  que hicimos al final de la sección II B. En cuanto al histograma generado por el algoritmo se aproxima en gran medida a ambos resultados teóricos, tal como se puede observar. El histograma obtenido con el algoritmo Metrópolis en este caso para los niveles de energía se ajusta adecuadamente a la distribución de probabilidad, aunque se nota que no es del todo igual. Los niveles de energía que se muestran en el eje  $n$  son todos a los que el algoritmo accedió. Podemos notar que para altas temperaturas hay muchos niveles de energía que contribuyen significativamente a la distribución de probabilidad en el espacio de las posiciones,  $\pi^{(Q)}(x; \beta)$ .

El caso  $\beta = 1.0$  que se ilustra en la figura 4 es un caso intermedio entre el límite de alta y baja temperatura. Aquí podemos observar perfectamente, aunque no muy grande, la diferencia entre los resultados teóricos clásico y cuántico. Encontramos también que el algoritmo Metrópolis hace bien el trabajo y se aproxima mejor a la densidad de probabilidad cuántica teórica,  $\pi^{(Q)}(x; \beta)$ . Aquí, el histograma para los niveles de energía generado por el algoritmo se acerca más a (50) y notamos que el número de niveles de energía que contribuyen significativamente es menor en este caso que en el caso  $\beta = 0.2$  (figura 3) por un factor de aproximadamente 4.

Finalmente, en la figura 5 vemos un caso de baja temperatura,  $\beta = 5$ , pero evidentemente no en el cero absoluto. Aquí las diferencias entre la distribución cuántica y la clásica son muy notorias y la distribución clásica tiene una desviación estándar más pequeña que la cuántica. Recordemos que conforme la temperatura baja, el caso

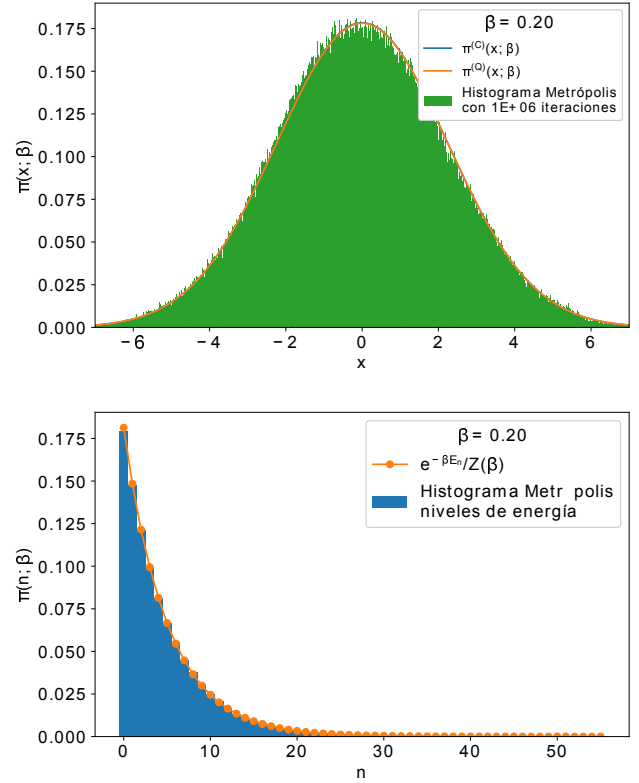


Figura 3. Arriba: densidad de probabilidad de encontrar a la «partícula» cuántica en una posición dada, cuando está en presencia de un potencial armónico y de baño térmico a temperatura definida por  $\beta = 1/T = 0.2$ . Mostramos los resultados teóricos clásico y cuántico como línea continua y el histograma que resulta del algoritmo Metrópolis usando  $10^6$  iteraciones y  $\delta x = 0.5$ . Observamos que éste es un límite de alta temperatura ya que las distribuciones teóricas clásica y cuántica se solapan en gran medida y son muy similares. Abajo: histograma de niveles de energía obtenido con algoritmo Metrópolis y los respectivos valores teóricos. Notamos que muchos niveles de energía contribuyen en este caso que hemos considerado de alta temperatura. Además, los valores calculados por el algoritmo se acercan en gran medida a los teóricos

clásico tiende a una desviación estándar de cero *i.e.* a una delta de Dirac. En este caso, al igual que los anteriores, el algoritmo de metrópolis muestrea correctamente la probabilidad cuántica. Aquí notamos en el histograma para  $n$  que hay una disminución importante en el número de niveles de energía que contribuyen significativamente en el sistema. Prácticamente el nivel dominante es  $E_0$  que corresponde al estado base del sistema, que corresponde a un límite de baja temperatura, en conformidad con lo que analizamos anteriormente para el histograma de posiciones.

En cuanto al tiempo de cómputo del algoritmo, éste depende del valor de  $\beta$ . Conforme  $\beta$  disminuye (se consideran mayores temperaturas), el tiempo de cómputo aumenta ya que el sistema puede acceder a niveles de energía más altos. En el algoritmo ésto se traduce en que

se deben computar los valores de  $\psi_n$  para todos los valores de  $x$  considerados hasta el momento, esto es, que hacen parte de la lista con la que se construye el histograma. En este punto tal vez el algoritmo pueda ser optimizado para reducir el tiempo de cómputo, ingenian-do una manera de no tener que calcular  $\psi_n$  para todos los valores de  $x$  considerados, sino solo para los que necesiten ser usados. En nuestro caso (lo relevante más que los tiempos de cómputo son las proporciones entre dichos tiempos) el algoritmo demora aproximadamente 190s para el caso  $\beta = 0.2$ , 110s para  $\beta = 1.0$  y 80s para  $\beta = 5.0$ . En el caso de  $T = 0$  que simplificamos al muestreo de la

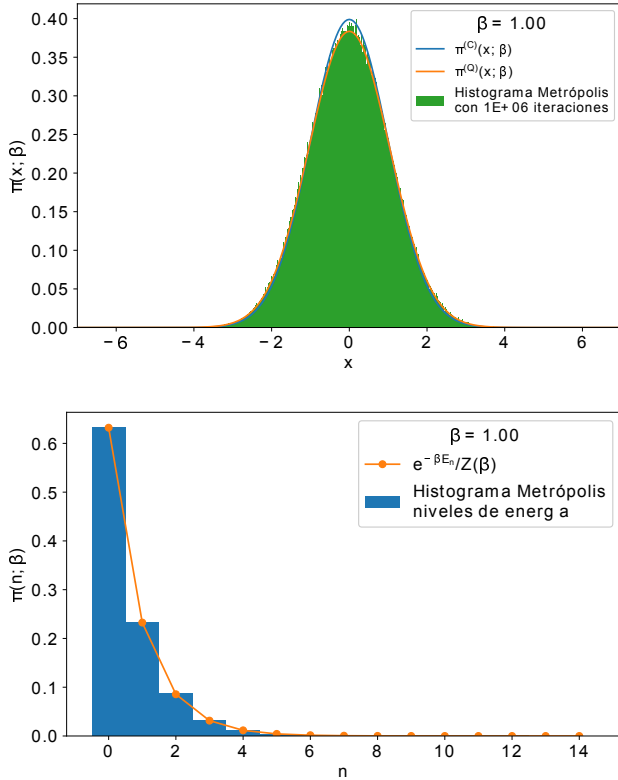


Figura 4. Arriba: densidad de probabilidad de encontrar a la «partícula» cuántica en una posición dada, cuando está en presencia de un potencial armónico y de baño térmico a temperatura definida por  $\beta = 1/T = 1.0$ . Mostramos los resultados teóricos clásico y cuántico como línea continua y el histograma que resulta del algoritmo Metrópolis usando  $10^6$  iteraciones y  $\delta x = 0.5$ . Observamos que éste es un caso intermedio entre los límites de alta y baja temperatura ya que las distribuciones teóricas clásica y cuántica son evidentemente diferentes aunque aún tengan cierta similitud (en los valores exactos para cada  $x$  la similitud es del orden del 90%). Abajo: histograma de niveles de energía obtenido con algoritmo Metrópolis y los respectivos valores teóricos marcados con puntos. Este caso de temperatura media entre límite de alta y baja temperatura tiene contribuciones de muchos menos niveles de energía que el caso  $\beta = 0.2$ , el cual es de baja temperatura. Los valores obtenidos con el algoritmo se acercan mucho a los valoresteóricos marcados por los puntos.

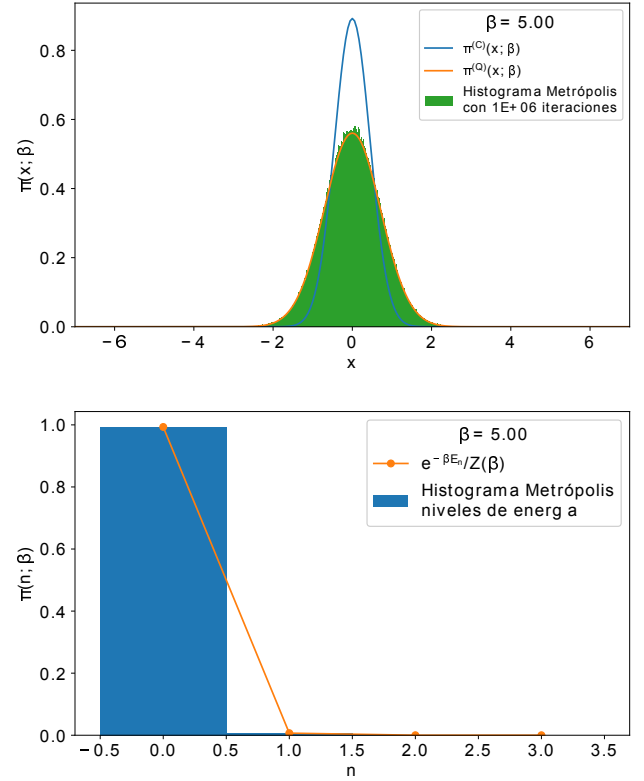


Figura 5. Arriba: densidad de probabilidad de encontrar a la «partícula» cuántica en una posición dada, cuando está en presencia de un potencial armónico y de baño térmico a temperatura definida por  $\beta = 1/T = 5.0$ . Mostramos los resultados teóricos clásico y cuántico como línea continua y el histograma que resulta del algoritmo Metrópolis usando  $10^6$  iteraciones y  $\delta x = 0.5$ . Observamos que éste es un límite de baja temperatura ya que las distribuciones teóricas clásica y cuántica son muy diferentes en sus valores específicos, a diferencia de lo notado en las figuras 3 y 4. Abajo: histograma de niveles de energía obtenido con algoritmo Metrópolis y los respectivos valores teóricos marcados con puntos. Aquí el histograma ya está comprendido por los niveles de energía más bajos, lo cual corresponde con el límite de baja temperatura. El nivel que más contribuye evidentemente es el estado base y los valores obtenidos con el algoritmo se ajustan casi perfectamente a los teóricos.

distribución de probabilidad  $|\psi_0(x)|^2$  y que tratamos en la sección III A, el algoritmo demora aproximadamente de 20s.

En cuanto a la convergencia del algoritmo a la distribución de probabilidad cuántica  $\pi^{(Q)}(x; \beta)$ , hay que mencionar que aunque no está reportado acá en gráficas, si se puede verificar que para valores más pequeños de  $\beta$  (manteniendo  $\delta x$  constante) el algoritmo necesita más iteraciones para converger a la densidad de probabilidad dada —en cierta medida esto se puede ver si ampliamos un poco las figuras 3, 4 y 5 ya que conforme disminuye  $\beta$ , las fluctuaciones en el histograma son mayores. El motivo de esto es similar al dado anteriormente: para

temperaturas más altas, el sistema puede acceder a niveles de energía más altos. Esto se traduce a que se deben muestrear posiciones más alejadas de la región de mayor probabilidad ya que el acceso a niveles de energía mayores implica en últimas que la desviación estándar aumenta conforme aumenta la temperatura. En este caso se podría optimizar el algoritmo haciendo un análisis juicioso del valor de  $\delta x$  necesario para muestrear los posibles valores de  $x$  de manera más eficiente.

Como comentario final de esta sección, es importante también mencionar que los algoritmos se ejecutaron en Python3 v3.6.

#### IV. CONCLUSIÓN

En este trabajo estudiamos el problema del oscilador armónico en un baño térmico, tanto de forma clásica como cuántica y con un tratamiento teórico y computacional —éste último en el marco del algoritmo Metrópolis.

Pudimos calcular para el oscilador armónico cuántico en un baño térmico los elementos diagonales del operador densidad en la base de posiciones,  $\rho(x, x; \beta)$ . Estos elementos diagonales los interpretamos como la densidad de probabilidad de encontrar a la «partícula» en la posición  $x$ :  $\pi^{(Q)}(x; \beta)$ . En el caso clásico calculamos esta probabilidad con ayuda de la función de distribución en el espacio de fase definida por el ensamble canónico. Encontramos que el límite de baja temperatura para el caso clásico es una delta de Dirac centrada en el origen, mien-

tras que en el caso cuántico este límite corresponde con la densidad de probabilidad de la autofunción de energía del estado base del oscilador armónico, conforme se espera. De igual modo pudimos notar que en el límite de altas temperaturas la densidad de probabilidad cuántica mencionada tiende a la clásica, conforme se espera también desde la física estadística.

Para contrastar los resultados teóricos usamos el algoritmo Metrópolis para reconstruir los histogramas del sistema cuántico en el espacio de las posiciones y en los niveles de energía. Para los casos de  $\beta$  evaluados encontramos que uno corresponde a un límite de alta temperatura ya que las distribuciones cuántica y clásica eran muy parecidas, también tenemos un caso intermedio entre alta y baja temperatura y uno de baja temperatura. Esas conclusiones las soportamos tanto en las comparaciones de las curvas teóricas como en los histogramas generados. Siempre los histogramas de los niveles de energía corresponden con el límite que tratamos: altas temperaturas implican contribuciones apreciables de muchos niveles de energía, mientras que para bajas temperaturas contribuyen solo niveles muy próximos al estado base.

Las implementaciones de los algoritmos usados son suficientemente generales y se podrían adaptar con cierta facilidad a otros sistemas de interés que sean objeto de estudio.

#### AGRADECIMIENTOS

Agradezco a mis compañeros de clase con los que tuve discusiones que ayudaron en la implementación del algoritmo y en las conclusiones presentadas.

- 
- [1] G. Grynberg, A. Aspect, and C. Fabre, *Introduction to Quantum Optics: From the Semi-classical Approach to Quantized Light*, 1st ed. (Cambridge University Press, 2010).
  - [2] M. D. Schwartz, *Quantum Field Theory and Standard Model*, 1st ed. (Cambridge University Press, 2014) [arXiv:arXiv:1011.1669v3](#).
  - [3] F. A. Barone, H. Boschi-Filho, and C. Farina, Three methods for calculating the Feynman propagator, *American Journal of Physics* **71**, 483 (2003), [arXiv:0205085 \[quant-ph\]](#).
  - [4] B. R. Holstein, The harmonic oscillator propagator, *American Journal of Physics* **66**, 583 (1998).
  - [5] F. Kheirandish, Exact density matrix of an oscillator-bath system: Alternative derivation, *Physics Letters, Section A: General, Atomic and Solid State Physics* **382**, 3339 (2018).
  - [6] Richard P. Feynmann, *Statistical Mechanics: a Set of Lectures*, 2nd ed. (THE BENJAMIN/CUMMINGS PUBLISHING COMPANY, INC., 1972) pp. 49–51.
  - [7] C. Cohen-Tannoudji, B. Diu, and F. Laloë, *Quantum mechanics* (Wiley, New York, NY, 1977) pp. 628–631.
  - [8] N. Metropolis, A. W. Rosenbluth, M. N. Rosenbluth, A. H. Teller, and E. Teller, Equation of state calculations by fast computing machines, *The Journal of Chemical Physics* **21**, 1087 (1953).
  - [9] W. K. Hastings, Monte carlo sampling methods using Markov chains and their applications, *Biometrika* **57**, 97 (1970).
  - [10] M. E. J. Newman and G. T. Barkema, *Monte Carlo Methods in Statistical Physics*, Oxford University Press, 1 (1999).



Apéndice A: Código 1: Oscilador Armónico Cuántico a muy baja temperatura  $T \rightarrow 0$

```

1  # -*- coding: utf-8 -*-
2  from __future__ import division
3  import os
4  import numpy as np
5  import matplotlib.pyplot as plt
6  from time import time
7
8  # Author: Juan Esteban Aristizabal-Zuluaga
9  # date: 202004151200
10
11 def QHO_ground(x):
12     """
13     Uso: devuelve amplitud de probabilidad del estado base del Oscilador Armónico cuántico
14     """
15     return np.pi**(-0.25)*np.exp(-x**2/2.)
16
17 def metropolis(N=int(1e6),x0=0.0,delta=0.5,prob_amplitude_sampling=QHO_ground):
18     """
19     Uso: devuelve x_hist lista con N valores de x muestreados de la densidad de probabilidad
20     (definida por la amplitud de probabilidad prob_amplitude_sampling) por el algoritmo
21     Metrópolis.
22
23     N: int                -> número de iteraciones para el algoritmo Metrópolis.
24     x0: float             -> valor de x con el que el algoritmo inicia el muestreo.
25     delta: float          -> tamaño máximo del paso en cada iteración de "camino
26                           aleatorio"
27                           usado por la cadena de Markov.
28     prob_amplitude_sampling: func -> función de densidad de probabilidad a muestrear
29     """
30     # Iniciamos lista que almacena valores de posiciones escogidos por el algoritmo
31     x_hist = [x0]
32     N = int(N)
33     for k in range(N):
34         # Proponemos nueva posición para x con distribución uniforme centrada en valor anterior
35         xnew = x_hist[-1] + np.random.uniform(-delta,delta)
36         # Calculamos probabilidad de aceptación del algoritmo Metrópolis
37         acceptance_prob =
38             ↪ min(1,(np.abs(prob_amplitude_sampling(xnew)/prob_amplitude_sampling(x_hist[-1])))**2)
39         # Escogemos si aceptamos o no el valor de x propuesto
40         if np.random.uniform() < acceptance_prob:
41             x_hist.append(xnew)
42         else:
43             x_hist.append(x_hist[-1])
44     return x_hist
45
46 def run_metropolis(N=1e5, x0=0.0, delta_x=0.5, prob_amplitude_sampling=QHO_ground,
47                   plot=True, showplot=True, savefig=[True,'plot_QHO_ground_state.eps'],
48                   xlim = 3.5, N_plot = 201):
49     """
50     Uso: corre el algoritmo Metrópolis que muestrea valores de x de la densidad de
51     probabilidad definida por la amplitud de probabilidad prob_amplitude_sampling y
52     grafica el histograma que resulta del algoritmo metrópolis, contrastado con la
53     densidad de probabilidad teórica.
54
55     Recibe:
56         N: int                -> Número de iteraciones para el algoritmo Metrópolis

```

```

56     x0: float                -> valor de x con el que el algoritmo inicia el muestreo.
57     delta: float            -> tamaño máximo del paso en cada iteración de "camino
58                             aleatorio"
59     prob_amplitude_sampling -> Función de densidad de probabilidad a muestrear por el
60                             algoritmo.
61     showplot = True / False -> Elige si muestra o no la gráfica.
62     savefig = [True / False, 'name of fig'] -> Elige si guarda o no la gráfica.
63                                             Nombre del archivo 'name of fig'
64     x_lim: float             -> límite en x para la gráfica
65     N_plot: list             -> número de valores de x para los que se grafica densidad
66                             de probabilidad
67
68     Devuelve:
69     x_hist: list             -> Lista con valores de x (posiciones) obtenidos mediante
70                             cadena de Markov.
71     grafica histograma y comparación con teoría si plot=True
72     """
73     N = int(N)
74     # Corre el algoritmo metrópolis y mide tiempo de cómputo
75     t_0 = time()
76     x_hist = metropolis(N, x0, delta_x, prob_amplitude_sampling)
77     t_1 = time()
78     print('Metropolis algorithm QHO ground state: %.3f seconds for %.0E iterations'%(t_1-t_0,N))
79     # Gráfica del histograma y comparación con densidad de probabilidad original
80     if plot==True:
81         x_plot = np.linspace(-xlim,xlim,N_plot)
82         plt.figure(figsize=(8,5))
83         plt.plot(x_plot,prob_amplitude_sampling(x_plot)**2,
84                  label=u'QHO densidad de probabilidad\ndel estado base:  $|\psi_0(x)|^2$ ')
85         plt.hist(x_hist,bins=int(N**0.5),normed=True,
86                  label=u'Histograma Metrópolis\ncon %.0E iteraciones'%(N))
87         plt.xlim(-xlim,xlim)
88         plt.xlabel(u'$x$')
89         plt.ylabel(u'$|\psi_0(x)|^2$')
90         plt.legend(loc='lower right')
91         if savefig[0]==True:
92             script_dir = os.path.dirname(os.path.abspath(__file__)) #path completa para script
93             plt.savefig(script_dir+'/'+savefig[1])
94         if showplot==True:
95             plt.show()
96         plt.close()
97
98     return x_hist
99
100 # Corremos el código usando función run_metropolis(), ésta graficará y guardará el histograma
101 plt.rcParams.update({'font.size':15})
102 x_hist = run_metropolis(N=1e6)

```

## Apéndice B: Código 2: Oscilador Armónico Cuántico a temperatura finita $T \neq 0$

```

1  # -*- coding: utf-8 -*-
2  from __future__ import division
3  import os
4  import numpy as np
5  import matplotlib.pyplot as plt
6  from time import time
7

```

```

8  # Author: Juan Esteban Aristizabal-Zuluaga
9  # date: 202004151200
10
11 def psi_0_1(x_limit = 5, N_points_x = 101): #creates first two energy eigenfunctions
12     """
13     Uso:     Devuelve diccionario "psi" que representa las autofunciones de energía.
14               Las llaves de "psi" están dadas por los elementos de un enmallado
15               generado en el intervalo [-x_limit,x_limit] y que tiene "N_point_x" puntos
16               igualmente espaciados. Los elementos asignados a cada llave x son listas
17               cuyo índice corresponde al nivel de energía para la autofunción en la posición
18               x.
19               En pocas palabras, psi[x][n] corresponde a la autofunción de energía \psi_{n}(x).
20               Los valores accesibles para x son los elementos de grid_x y los valores
21               accesibles para n son 0 y 1.
22
23     Recibe:
24         x_limit: float      -> los valores de x serán N_points_x igualmente espaciados entre
25                               [-x_limit,x_limit]
26         N_ponts_x: int      ->
27
28     Devuelve:
29         psi: dict           -> psi[x][n] corresponde a la autofunción de energía
30                               \psi_{n}(x) n = 0,1.
31         grid_x: list        -> lista con valores de x que se pueden usar en el diccionario psi.
32     """
33     N_points_x = int(N_points_x)
34     if N_points_x%2 ==0:
35         N_points_x = N_points_x + 1
36     delta = x_limit/(N_points_x-1)
37     grid_x = [i*delta for i in range(-int((N_points_x-1)/2),int((N_points_x-1)/2 + 1))]
38     psi = {}
39     for x in grid_x:
40         psi[x] = [np.exp(-x**2/2.) * np.pi**(-0.25)]
41         psi[x].append(2**0.5 * x * psi[x][0])
42     return psi, grid_x
43
44 def add_energy_level(psi): #adds new energy eigenfunction to psi
45     """
46     Uso:     Recibe diccionario generado por función psi_0_1 y entrega diccionario con
47               autofunciones con un nivel de energía adicional.
48
49     Recibe:
50         psi: dict           -> diccionario con autofunciones de energía psi[x][n] y máximo
51                               n = n_max = len(psi[0])
52
53     Devuelve:
54         psi: dict           -> diccionario actualizado con máximo n = n_max + 1
55     """
56     # Revisamos nivel de energía máximo disponible = n-1
57     n = len(psi[0.0])
58
59     # Actualizamos diccionario de autofunciones para que contenga nivel de energía
60     # inmediatamente superior al máximo accesible anteriormente (n)
61     for x in psi.keys():
62         psi[x].append((2./n)**0.5 * x * psi[x][n-1] -
63                       ((n-1)/n)**0.5 * psi[x][n-2])
64     return psi
65

```

```

66 def add_x_value(psi,x): #adds new x value to psi
67     """
68     Uso: Recibe diccionario generado por función psi_0_1 y entrega diccionario con
69           autofunciones con una posición adicional dada por el valor de x.
70
71     Recibe:
72     psi: dict          -> diccionario con autofunciones de energía: psi[x][n]
73
74     Devuelve:
75     psi: dict          -> diccionario actualizado con nueva posición accesible x para todos los
76                           valores de n accesibles anteriormete.
77     """
78     # Añadimos primeros dos niveles de energía para la posición x (n=0 y n=1)
79     psi[x] = [np.exp(-x**2/2.) * np.pi**(-0.25)]
80     psi[x].append(2**0.5 * x * psi[x][0])
81     #Añadimos niveles de energía superiores para la posición x:
82     n_max = len(psi[0.0])-1
83     for n in range(2,n_max+1):
84         psi[x].append((2./n)**0.5 * x * psi[x][n-1] -
85                       ((n-1)/n)**0.5 * psi[x][n-2])
86     return psi
87
88 def canonical_ensemble_prob(delta_E,beta):
89     """
90     Devuelve: factor de Boltzmann para beta=1/T y delta_E dados
91     """
92     return np.exp(-beta * delta_E)
93
94 def boltzmann_probability(En,beta):
95     """
96     Recibe:
97     En: float          -> autovalor de energía
98     beta: float         -> inverso de temperatura en unidades reducidas beta = 1/T
99
100    Devuelve:
101    probabilidad de encontrar el oscilador armónico cuántico en nivel de energía "En"
102    a tmeperatura T.
103    """
104    return 2.*np.sinh(beta/2.)*np.exp(-beta*En)
105
106 def metropolis_finite_temp(x0=0.0, delta_x=0.5, N=1e3,
107                            prob_sampling=[psi_0_1()[0],canonical_ensemble_prob], beta=5):
108     """
109     Uso: Algoritmo metrópolis para aproximar densidad de probabilidad de encontrar
110           al oscilador armónico cuántico (en presencia de baño térmico) en una posición x.
111
112     Recibe:
113     x0: float          -> valor de x con el que el algoritmo inicia el muestreo.
114     delta_x: float     -> tamaño máximo del paso en cada iteración de "camino aleatorio" .
115     N: int             -> número de iteraciones para el algoritmo Metrópolis.
116     prob_sampling[0]: dict -> diccionario con autofunciones de energía generado por
117                               la función psi_0_1().
118     prob_sampling[1]: func -> función que calcula factor de Boltzmann.
119     beta: float        -> inverso de temperatura en unidades reducidas beta = 1/T.
120
121
122     Devuelve:
123     x_hist: list       -> lista con la que se calcula el histograma que aproxima la densidad

```

```

124                                     de probabilidad de encontrar al oscilador armónico cuántico (en
125                                     presencia de baño térmico) en una posición  $x$ .
126     n_hist: list      -> lista con la que se calcula el histograma que aproxima distribución
127                                     de Boltzmann para el caso del oscilador armónico cuántico.
128     prob_sampling[0]: dict      -> diccionario de autofunciones de energía actualizado
↪ para
129                                     todos los valores de x_hist y n_hist. Se accede a ellos
130                                     mediante prob_sampling[0][x][n].
131
132     """
133     # Iniciamos listas que almacenen valores de niveles de energía y posiciones escogidos
134     # por el algoritmo
135     x_hist = [ x0 ]
136     n_hist = [ 0 ]
137     prob_sampling = [prob_sampling[0].copy(),prob_sampling[1]]
138     # Iniciamos iteraciones de algoritmo Metrópolis
139     for k in range(int(N)):
140         # Iniciamos montecarlo espacial:  $P(x \rightarrow x')$ 
141         x_new = x_hist[-1] + np.random.uniform(-delta_x,delta_x)
142         # Revisamos si la posición propuesta x_new es accesible en el diccionario psi
143         # si no es accesible, agregamos dicha posición al diccionario con respectivos
144         # valores de autofunciones de energía. Esto se hace con ayuda de la función
145         # add_x_value().
146         try:
147             prob_sampling[0][x_new][0]
148         except:
149             prob_sampling[0] = add_x_value(prob_sampling[0],x_new)
150             # Calculamos la probabilidad de aceptación para transiciones de posición
151             # definida por algoritmo Metrópolis y se escoge si se acepta o no.
152             acceptance_prob_1 = ( prob_sampling[0][x_new][n_hist[-1]] /
153             ↪ prob_sampling[0][x_hist[-1]][n_hist[-1]] )**2
154             if np.random.uniform() < min(1,acceptance_prob_1):
155                 x_hist.append(x_new)
156             else:
157                 x_hist.append(x_hist[-1])
158
159         # Iniciamos Montecarlo para nivel de energía  $P(n \rightarrow n')$ 
160         n_new = n_hist[-1] + np.random.choice([1,-1])
161         # Chequeamos si el n propuesto es negativo
162         if n_new < 0:
163             n_hist.append(n_hist[-1])
164         else:
165             current_n_max = len(prob_sampling[0][0])-1
166             # Revisamos si el nivel propuesto n_new es accesible en el diccionario psi
167             # si no es accesible, agregamos dicho nivel de energía para todas las posiciones
168             # del diccionario psi. Esto se hace con ayuda de la función add_energy_level().
169             if n_new > current_n_max:
170                 prob_sampling[0] = add_energy_level(prob_sampling[0])
171                 # Calculamos la probabilidad de aceptación para transiciones de posición
172                 # definida por algoritmo Metrópolis y se escoge si se acepta o no.
173                 acceptance_prob_2 = ( prob_sampling[0][x_hist[-1]][n_new] /
174                 ↪ prob_sampling[0][x_hist[-1]][n_hist[-1]] )**2 * \
175                     prob_sampling[1]( n_new-n_hist[-1], beta)
176                 if np.random.uniform() < min(1,acceptance_prob_2):
177                     n_hist.append(n_new)
178                 else:
179                     n_hist.append(n_hist[-1])
180     return x_hist, n_hist, prob_sampling[0]

```



```

179 def CHO_canonical_ensemble(x,beta=5,plot=False,savefig=True,showplot=False):
180     """
181     Uso:      calcula probabilidad teórica clásica de encontrar al oscilador armónico
182               (presente en un baño térmico) en la posición x. Si plot=True grafica
183               dicha probabilidad.
184
185     Recibe:
186         x: float          -> posición
187         beta: float       -> inverso de temperatura en unidades reducidas beta = 1/T.
188         plot: bool        -> escoge si grafica o no los histogramas.
189         showplot: bool    -> escoge si muestra o no la gráfica.
190         savefig: bool     -> escoge si guarda o no la figura graficada.
191
192     Devuelve:
193         probabilidad teórica clásica en posición dada para temperatura T dada
194         o gráfica de la probabilidad teórica clásica.
195     """
196     if plot==True:
197         x = np.linspace(-3,3,201)
198         plt.figure(figsize=(8,5))
199         pdf_array = []
200         for beta0 in list(beta):
201             pdf_array.append( (beta0/(2.*np.pi))**0.5 * np.exp(-x**2*beta0 / 2.) )
202             plt.plot(x,pdf_array[-1],label=u'$\\beta = %.1f$'%beta0)
203         plt.xlim(-3,3)
204         plt.xlabel('$x$')
205         plt.ylabel('$\pi^{-1}(C)(x;\\beta)$')
206         plt.legend(loc='best')
207         if savefig==True:
208             script_dir = os.path.dirname(os.path.abspath(__file__)) #path completa para script
209             plt.savefig(script_dir + '/plot_CHO_finite_temp_several_beta.eps')
210         if showplot==True:
211             plt.show()
212         plt.close()
213         return pdf_array
214     else:
215         return (beta/(2.*np.pi))**0.5 * np.exp(-x**2*beta / 2.)
216
217 def QHO_canonical_ensemble(x,beta):
218     """
219     Uso:      calcula probabilidad teórica cuántica de encontrar al oscilador armónico
220               (presente en un baño térmico) en la posición x.
221
222     Recibe:
223         x: float          -> posición
224         beta: float       -> inverso de temperatura en unidades reducidas beta = 1/T.
225
226     Devuelve:
227         probabilidad teórica cuántica en posición dada para temperatura T dada.
228     """
229     return (np.tanh(beta/2.)/np.pi)**0.5 * np.exp(- x**2 * np.tanh(beta/2.))
230
231 def run_metropolis(psi_0_1 = psi_0_1, x_limit = 5., N_points_x = 51,
232                   x0 = 0.0, delta_x = 0.5, N_metropolis = int(1e5),
233                   canonical_ensemble_prob = canonical_ensemble_prob, beta = 5.,
234                   plot=True, showplot = True, savefig = True, legend_loc = 'best', x_plot_0=7):
235     """
236     Uso:      Corre algoritmo Metrópolis para el oscilador armónico cuántico en un baño térmico.

```

```

237         Grafica el histograma de posiciones obtenido contrastándolo con los resultados
238         teóricos cuántico y clásico. Grafica histograma de niveles de energía visitados por
239         el algoritmo.
240
241     Recibe:
242         psi_0_1: función    -> función que inicializa las autofunciones del hamiltoniano.
243         x_limit: float      -> las autofunciones se inicializan en intervalo
244         (-x_limit,x_limit).
245         N_points_x: int     -> la rejilla para inicializar autofunciones tiene
246                             N_points_x puntos.
247         x0: float          -> valor de x con el que el algoritmo inicia el muestreo.
248         delta_x: float     -> tamaño máximo del paso en cada iteración de "camino aleatorio".
249         N_metropolis: int   -> número de iteraciones para algoritmo metrópolis.
250         beta: float        -> inverso de temperatura del baño térmico en unidades reducidas
251                             beta = 1/T.
252         canonical_ensemble_prob: función -> función que genera factor de Boltzmann
253                                         exp(-B*deltaE).
254         plot: bool         -> escoge si grafica o no los histogramas
255         showplot: bool     -> escoge si muestra o no la gráfica
256         savefig: [bool,'name of fig'] -> escoge si guarda o no la figura y el nombre del
257                                         archivo.
258         legend_loc: 'position' -> posición de la legenda para la figura
259         x_plot_0: float     -> dominio de la gráfica en x será (-x_plot,x_plot)
260
261     Devuelve:
262         x_hist: list        -> Lista con valores de x (posiciones) obtenidos mediante cadena
263                             de Markov.
264         n_hist: list        -> Lista con valores de n (niveles de energía) obtenidos mediante
265                             cadena de Markov.
266         psi_final: dict     -> Diccionario con autofunciones de energía  $\psi_{\{n\}}(x) = \psi[x][n]$ 
267
268         para valores de x y n en x_hist y n_hist.
269
270     """
271     # Inicializamos autofunciones de energía en diccionario psi generado por función psi_0_1()
272     psi, grid_x = psi_0_1(x_limit,N_points_x)
273
274     # Almacenamos probs. en una lista: la amplitud de probabilidad psi de las autofunciones
275     # y el factor de Boltzmann del ensamble canónico
276     prob_sampling = [psi, canonical_ensemble_prob]
277
278     # Ejecutamos algoritmo metropolis y medimos tiempo de cómputo
279     t_0 = time()
280     x_hist, n_hist, psi_final = metropolis_finite_temp(x0=x0, delta_x=delta_x,N=N_metropolis,
281                                                         prob_sampling=prob_sampling, beta=beta)
282     t_1 = time()
283     print('Metropolis algorithm (beta = %.2f): %.3f seconds for %.0E
284           iterations'%(beta,t_1-t_0,N_metropolis))
285
286     if plot==True:
287         # Graficamos histograma para posiciones
288         x_plot = np.linspace(-x_plot_0,x_plot_0,251)
289         plt.figure(figsize=(8,5))
290         plt.plot(x_plot,CHO_canonical_ensemble(x_plot,beta=beta),
291                 label=u'$\pi^{\{C\}}(x;\\beta)$')
292         plt.plot(x_plot,QHO_canonical_ensemble(x_plot,beta=beta),
293                 label=u'$\pi^{\{Q\}}(x;\\beta)$')
294         plt.hist(x_hist,bins=int(N_metropolis**0.5),normed=True,
295                 label='Histograma Metrópolis\ncon %.0E iteraciones'%(N_metropolis))

```

```

292     plt.xlim(-x_plot_0,x_plot_0)
293     plt.xlabel(u'$x$')
294     plt.ylabel(u'$\pi(x;\backslash\backslash\beta)$')
295     plt.legend(loc=legend_loc, title=u'$\backslash\backslash\beta=%.2f$'%beta, fontsize=12)
296     plt.tight_layout()
297     if savefig==True:
298         script_dir = os.path.dirname(os.path.abspath(__file__)) #path completa para script
299         plt.savefig(script_dir +
300                     '/plot_QHO_finite_temp_beta_%d_%d.eps'%(beta,(beta-int(beta))*100))
301     if showplot==True:
302         plt.show()
303     plt.close()
304
305     # Graficamos histograma para niveles de energía
306     n_plot = np.arange(len(psi_final[0]))
307     plt.figure(figsize=(8,5))
308     plt.hist(n_hist,normed=True,bins=np.arange(len(psi_final[0])+1)-0.5,
309             label='Histograma Metrópolis\nniveles de energía')
310     plt.plot(n_plot,boltzmann_probability(n_plot+1/2,beta),'o-',
311            label=u'$e^{-\backslash\backslash\beta E_n}/Z(\backslash\backslash\beta)$')
312     plt.xlabel(u'$n$')
313     plt.ylabel(u'$\pi(n;\backslash\backslash\beta)$')
314     plt.legend(loc='best', title=u'$\backslash\backslash\beta=%.2f$'%beta)
315     plt.tight_layout()
316     if savefig==True:
317         script_dir = os.path.dirname(os.path.abspath(__file__)) #path completa para script
318         plt.savefig(script_dir+' /plot_QHO_n_hist_beta_%d_%d.eps'%(beta,(beta-int(beta))*100))
319     if showplot==True:
320         plt.show()
321     plt.close()
322
323     return x_hist, n_hist, psi_final
324
325 plt.rcParams.update({'font.size':15})
326
327 # Corremos algoritmo metrópolis usando función run_metropolis() para varios
328 # valores de beta
329 beta_array = [0.2, 1, 5, 60]
330 legend_loc = ['lower center', 'lower right', 'best', 'best']
331 for i,beta in enumerate(beta_array):
332     run_metropolis(N_metropolis=1e6,beta=beta,showplot=False)
333
334 # Corremos algoritmo para gráfica de límite de baja temperatura en el caso
335 # clásico (figura 1 en el artículo)
336 beta_array_CHO = [5,20,60,100]
337 CHO_canonical_ensemble(0,beta=beta_array_CHO,plot=True,showplot=False)

```

---